

# ГЛАВА 1

## ПРОСТЫЕ ПРИМЕРЫ

### 1.1. ТЕПЛООБМЕН



Яркие примеры обхода равновесия можно получить, рассматривая следующую задачу.

**Задача.** Два тела одинаковой теплоемкости имеют различную температуру (первое — горячее, второе — холодное):  $T_1 > T_2$ . Можно ли так организовать тепловой контакт между ними, чтобы в результате только теплопередачи горячее тело стало холодным, а холодное — горячим? Возможен ли полный обмен температурами (или почти полный)?

**Решение.** Пусть тела представляют собой одинаковые тонкие прямоугольные пластины. Проведем одну пластину по другой так, как показано на рис. 1.1, a. Пусть  $L$  — длина пластины,  $d$  — толщина, а  $\sigma$  — температуропроводность материала пластин. Если  $L/d$  достаточно велико, то можно выбрать такую скорость  $v$ , что

$$L\sigma/d^2 \gg v \gg \sigma/L \quad (L \gg \sqrt{\sigma L/v} \gg d). \quad (1.1)$$

Для такой скорости  $v$  теплопереносом вдоль пластин можно пренебречь, а теплопередачу по толщине пластин считать мгновенной. В соответствии с этим положим температуру по толщине пластин постоянной, а температуру обеих пластин в точках контакта равной и запишем закон сохранения энергии:

$$\begin{aligned} T(x, t + \Delta t) &= [T(x, t) + T(x - v\Delta t, t)]/2; \\ \partial T / \partial t + (v/2) \partial T / \partial x &= 0; \quad T = f(x - vt/2). \end{aligned} \quad (1.2)$$

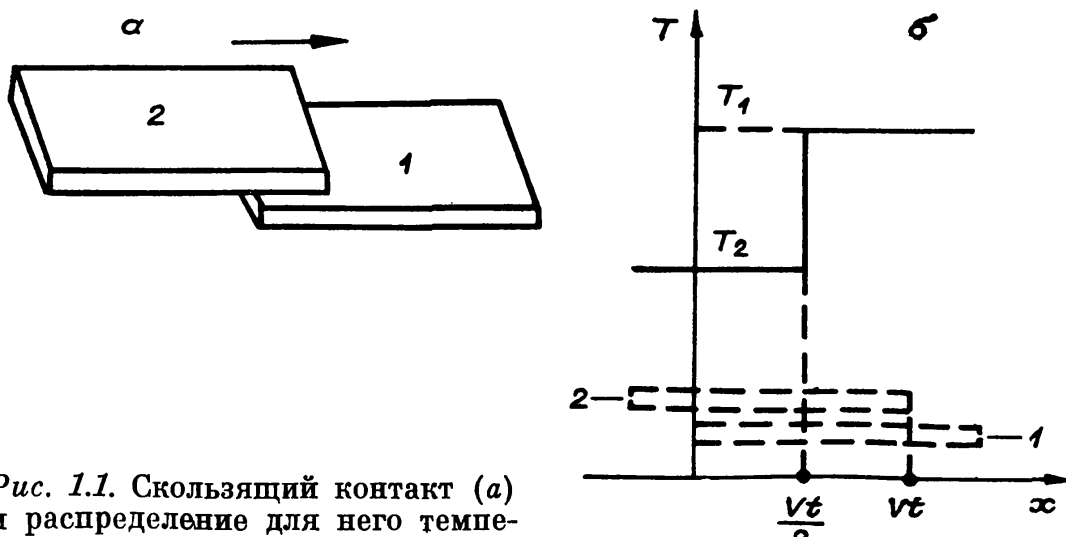


Рис. 1.1. Скользящий контакт (a) и распределение для него температур по пластинам (б).

Поскольку  $T(x, 0) = (T_1 + T_2)/2 + ((T_1 - T_2)/2) \operatorname{sign} x$ , из (1.2) получаем

$$T = (T_1 + T_2)/2 + ((T_1 - T_2)/2) \operatorname{sign}(x - vt/2) \quad (1.3)$$

при  $0 \leq vt \leq L$  (см. рис. 1.1, б). Аналогично (1.3) верно и при  $L < vt \leq 2L$ . Поэтому после прекращения контакта пластины поменяются температурами. Несомненно, в реальной ситуации какой-то прирост энтропии наблюдаться будет и фронт теплообмена будет иметь конечную ширину, однако «степень неупругости»  $(S' - S)/S$  ( $S$  — энтропия до контакта,  $S'$  — энтропия после контакта) может быть при этом сколь угодно мала — по крайней мере в принципе.

Задачу в таком виде автор узнал от Р. Нахмансона. Устройства, реализующие принцип решения (противоток), известны давно. Это обычные теплообменники. Тем не менее задачи подобного типа вызывают при первом знакомстве с ними известные трудности. Даже квалифицированным физикам часто на первый взгляд кажется, что подобный «упругий» теплообмен принципиально невозможен. Это вызвано, вероятно, «одномерной» интуицией — если фазовое пространство одномерно, то обойти равновесие невозможно. Если бы температура обоих тел не изменялась от точки к точке, то в отсутствие третьих тел состояние системы при фиксированных начальных значениях  $T_1, T_2$  однозначно описывалось бы заданием температуры одного из тел в силу сохранения энергии. В простейших случаях при постоянной одинаковой теплоемкости  $T_1 + T_2 = \text{const}$ . Рассмотрим подробнее двумерные системы. Пусть температура одного тела пространствено однородна, второе же состоит из двух половин, в каждой из которых температура пространственно однородна, а коэффициент теплопередачи между половинами мы можем произвольно изменять от некоторой конечной величины до нуля. Предположение о пространственной однородности означает, что перенос тепла внутри тел (половинок) происходит намного быстрее, чем теплообмен между ними: существует такое малое  $\epsilon > 0$ , что вне  $\epsilon$ -окрестности поверхности контакта перепады температур внутри тел малы по сравнению с разностями температур между телами. Для тройных контактов предполагается, что расстояние между двумя поверхностями различных парных контактов всегда превышает  $\epsilon$ . Величина  $\epsilon$  должна быть памного меньше всех линейных размеров тел. Дальнейшая конкретизация этого условия (очевидного для прямоугольных брусков) уведет нас несколько в сторону, поэтому отметим здесь лишь то, что она возможна, и вернемся к задаче. Для простоты выкладок предположим, что в рассматриваемом интервале температур теплоемкости тел постоянны. По сути здесь мы имеем дело с тремя телами. Одно из них имеет теплоемкость  $c$ , два других (половины второго тела) —  $c/2$ . Обозначим их температуры  $T_1, T_2, T_3$ . Закон сохранения энергии дает  $T_1 + (T_2 + T_3)/2 = \text{const}$ . Предполагается, что как в начальном, так и в конечном состоянии  $T_2 = T_3$ . Воспользовавшись законом сохранения, можно выразить  $T_1$  через  $T_2, T_3$ :  $T_1 = 2T^* - (T_2 + T_3)/2$ , где  $2T^* = T_1^0 + (T_2^0 + T_3^0)/2$ ,  $T_{1,2,3}^0$  — температуры в на-

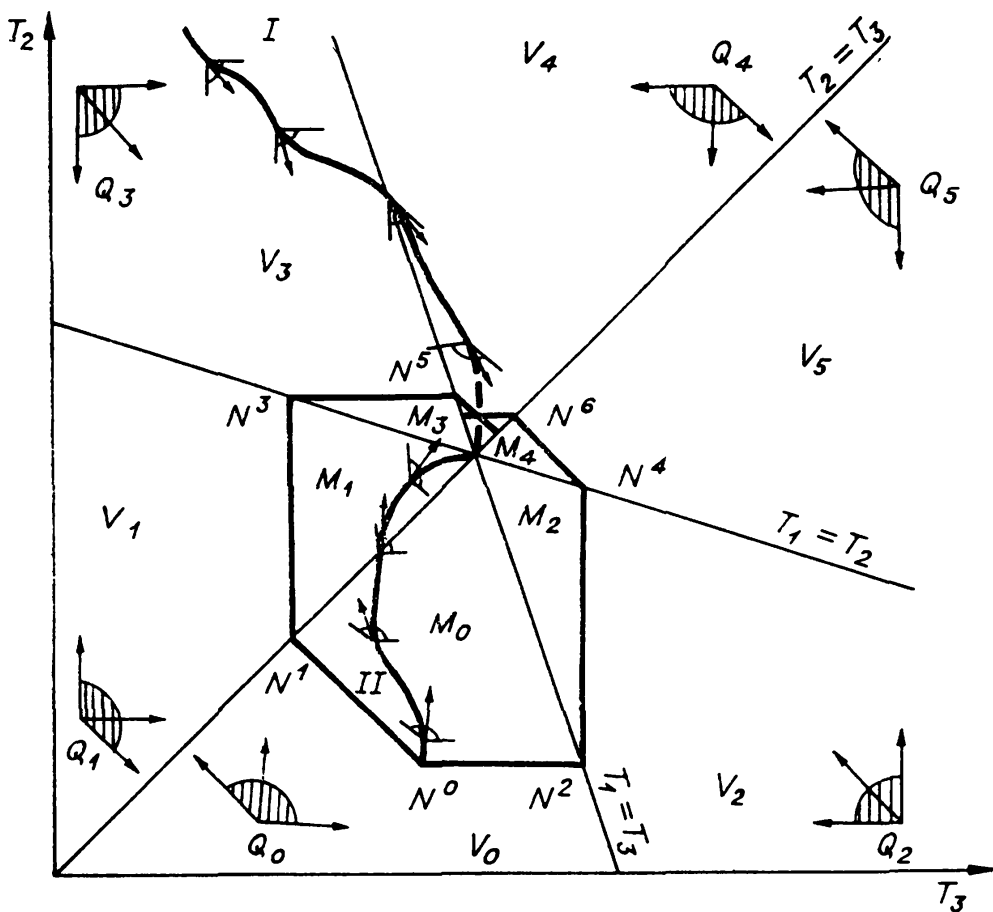


Рис. 1.2. Отсеки  $V_i$ , углы возможных направлений  $Q_i$  (заштрихованы), примеры допустимых путей ( $I$ ,  $II$ ) и множество состояний, достижимых из данного начального  $N_0$  (область с выделенной границей), для теплообмена трех тел (при соотношении теплоемкостей  $c_1 = 2c_2 = 2c_3$ ).

чальном состоянии. Плоскость с декартовыми координатами  $T_2$ ,  $T_3$  разобьем линиями частных равновесий — тремя прямыми с уравнениями  $T_1 = T_2$ ,  $T_1 = T_3$  и  $T_2 = T_3$ . Эти прямые пересекаются в одной точке равновесия, где  $T_1 = T_2 = T_3 = T^*$ , и разделяют плоскость на 6 углов (рис. 1.2). Далее такие углы называют *отсеками*. Каждый отсек соответствует одной расстановке знаков в неравенствах между  $T_1$  и  $T_2$ ,  $T_2$  и  $T_3$ ,  $T_1$  и  $T_3$  из следующих: а)  $T_1 > T_2$ ,  $T_1 > T_3$ ,  $T_2 > T_3$ ; б)  $T_1 < T_2$ ,  $T_1 < T_3$ ,  $T_2 > T_3$ ; в)  $T_1 < T_2$ ,  $T_1 > T_3$ ,  $T_2 > T_3$ ; г)  $T_1 < T_2$ ,  $T_1 < T_3$ ,  $T_2 < T_3$ ; д)  $T_1 > T_2$ ,  $T_1 < T_3$ ,  $T_2 < T_3$ ; е)  $T_1 > T_2$ ,  $T_1 > T_3$ ,  $T_2 < T_3$ . Возможны еще два способа расстановки знаков в этих неравенствах:  $T_1 > T_2$ ,  $T_1 < T_3$ ,  $T_2 > T_3$  и  $T_1 < T_2$ ,  $T_1 > T_3$ ,  $T_2 < T_3$ , но они внутренне противоречивы, и им не соответствует ни одного отсека.

Рассмотрим движение системы при наличии контактов между телами. Если приведены в контакт первое и второе тело, а третье изолировано, то движение происходит вдоль прямой  $T_3 = \text{const}$  по направлению к точке ее пересечения с прямой  $T_1 = T_2$ . Аналогично и для других контактов. В каждом отсеке есть тройка направлений движения, соответствующая трем парным контактам (рис. 1.2). В случае тройного контакта направление движения есть сумма с положительными коэффициентами направляющих векторов для

иарных контактов (это обусловлено предполагаемой однородностью температуры тел). В каждом отсеке множество таких сумм образует угол (рис. 1.2) — угол возможных направлений движения. Гладкая кривая с выделенным направлением движения есть допустимый путь перемещения системы, если в каждой ее точке касательный вектор, ориентированный по направлению движения, лежит в угле возможных направлений (рис. 1.2). Угол возможных направлений выбирается в соответствии с тем отсеком, где лежит точка. Линия частичного равновесия считается принадлежащей обоим граничным с ней отсекам, а угол возможных направлений для лежащих на ней точек есть пересечение углов, соответствующих прилегающим отсекам.

Для каждого начального состояния построим область состояний, в которые можно попасть из него, двигаясь по допустимым путям. Пусть  $N^0$  — начальное состояние (рис. 1.2),  $N^0$  лежит в отсеке  $V_0$ ,  $Q_0$  — соответствующий угол возможных направлений. Перенесем вершину этого угла в точку  $N^0$  и рассмотрим его пересечение с  $V_0$ :  $M_0 = V_0 \cap (N^0 + Q_0)$ . Обозначим  $N^1$  и  $N^2$  наиболее удаленные от равновесия точки этого множества, лежащие на граничных прямых  $V_0$ . Соответствующие соседние отсеки обозначим  $V_1$ ,  $V_2$ , а углы возможных направлений —  $Q_1$ ,  $Q_2$ . Перенесем вершины углов  $Q_1$ ,  $Q_2$  в точки  $N^1$ ,  $N^2$  и рассмотрим их пересечения с  $V_1$ ,  $V_2$  соответственно  $M_1 = V_1 \cap (N^1 + Q_1)$  и  $M_2 = V_2 \cap (N^2 + Q_2)$ . В этих множествах есть точки, лежащие на прямых, ограничивающих  $V_1$ ,  $V_2$  и не примыкающих к  $V_0$ . Выберем из них самые далекие от равновесия и повторим построение (рис. 1.2). Будем повторять описанное построение до тех пор, пока после очередного шага не перестанут появляться новые точки. Получим множество  $M = \cup M_i$  ( $i = 1, \dots, 6$ ). Это множество всех состояний, достижимых из  $N^0$ .

По условию исходной задачи в начальный и конечный моменты  $T_2 = T_3$ . Обозначая температуры в конечном состоянии  $T'_{1,2,3}$  и повторяя построения рис. 1.2, получим (рис. 1.3): если  $T'_1 > T'_{2,3}$ , то

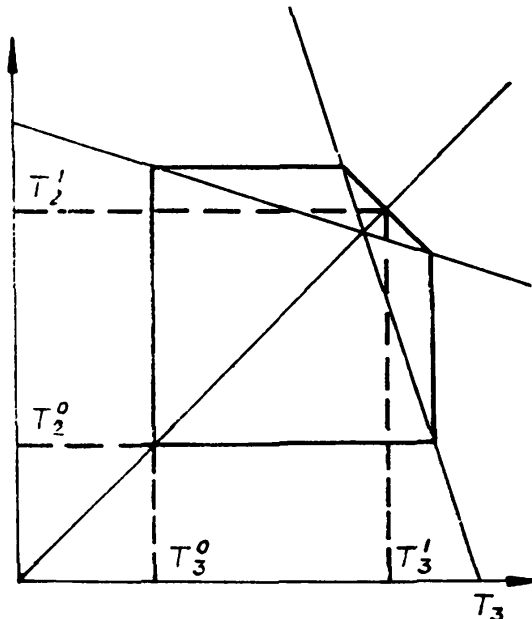
$$\begin{aligned} \max T'_{2,3} &= (5T'_1 + 4T'_{2,3})/9; \\ \min T'_1 &= (4T'_1 + 5T'_{2,3})/9; \\ \max (T'_{2,3} - T'_1) &= (T'_1 - T'_{2,3})/9. \end{aligned} \quad (1.4)$$

Способ реализации (1.4) состоит в следующем: первое тело приводится в равновесие с одной половиной второго, их температура становится равной  $(T'_{2,3} + 2T'_1)/3$ . Затем первое тело приводится в равновесие со второй половиной. При этом оно приобретает температуру  $(4T'_1 + 5T'_{2,3})/9$ . Затем в равновесие приходят половины между собой. Их конечная температура  $(5T'_1 + 4T'_{2,3})/9$ .

Второе решение задачи теплообмена состоит в использовании третьего тела для увеличения размерности системы. При этом начальное и конечное состояния третьего тела совпадают. Рассмотрим подробно двумерный вариант этого решения. Пусть нужно

**Рис. 1.3.** Теплообмен трех тел с максимальным эффектом обхода равновесия  $T_2$  ( $T_2^0 = T_3^0$ ,  $T'_2 = T'_3$ ).

проводить теплообмен между двумя телами температуры  $T_1^0$  и  $T_2^0$  с участием третьего тела температуры  $T_3^0$ , причем в конечном состоянии температура третьего тела вновь должна быть  $T_3^0$ . Предположим, что температура внутри каждого тела пространственно однородна, а теплоемкости равны и постоянны. Положим  $T^* = (T_1^0 + T_2^0 + T_3^0)/3$  и выразим  $T_3$  через  $T_{1,2}$ :  $T_3 = 3T^* - T_1 - T_2$ . Плоскость с декартовыми координатами  $T_1$ ,  $T_2$  разбивается прямыми частичных равновесий  $T_1 = T_2$ ,  $T_2 = T_3$ ,  $T_3 = T_1$ , на шесть отсеков (рис. 1.4). Как и выше, каждому отсеку сопоставляется угол возможных направлений движения. Пусть  $T_1^0 > T_2^0$ . Существует три варианта начальных условий:  $(T_1^0 > T_3^0, T_2^0 > T_3^0)$ ,  $(T_1^0 > T_3^0, T_2^0 < T_3^0)$  ( $T_1^0 < T_3^0, T_2^0 < T_3^0$ ). Как в первом, так и в третьем случае получить в конечном состоянии  $T_1' < T_2'$  невозможно. Это очевидно: если в первом случае  $(T_1^0 > T_3^0, T_2^0 > T_3^0)$  третье тело нагреется, то охладить его потом будет нечем, так как все тела будут иметь температуру большую, чем  $T_3^0$ , аналогично, если в третьем случае  $(T_1^0 < T_3^0, T_2^0 < T_3^0)$  третье тело охладится, то нагреть его уже будет нечем. Если же  $T_1^0 > T_3^0 > T_2^0$ , то обход равновесия возможен. Пусть  $T_3^0 < T^*$ . В этом случае наилучший результат (максимум  $T_2' - T_1'$ ) получается так (рис. 1.4, а, б). Вначале приводятся в равновесие второе (холодное) и третье тела. Их температуры становятся равными  $(T_3^0 + T_2^0)/2 = T^* - (T_1^0 - T^*)/2$ . Затем второе тело приводится в равновесие с первым (горячим) и они приобретают температуру  $T^* + (T_1^0 - T^*)/4$ . Далее первое тело приводится в контакт с третьим. Если их держать в контакте до установления равновесия, то температура будет  $T^* - (T_1^0 - T^*)/8$ . В том случае, когда  $T^* - (T_1^0 - T^*)/8 \geq T_3^0$  (рис. 1.4, а), контакт поддерживается до того момента, когда температура третьего тела станет равна  $T_3^0$ , а температура первого соответственно  $T^* + (T^* - T_3^0) - (T_1^0 + T^*)/4$ . На этом теплообмен заканчивается: получаем  $T_2' - T_1' = (T_3^0 - T_2^0)/2$ . Если  $T^* - (T_1^0 - T^*)/8 < T_3^0$  (рис. 1.4, б), то первое и третье тела держат в контакте до установления равновесия, после чего третье тело дополнительно подогревают, приводя его в контакт со вторым, до тех пор, пока  $T_3$  не станет равным  $T_3^0$ . При этом  $T_1' = T^* - (T_1^0 - T^*)/8$ .



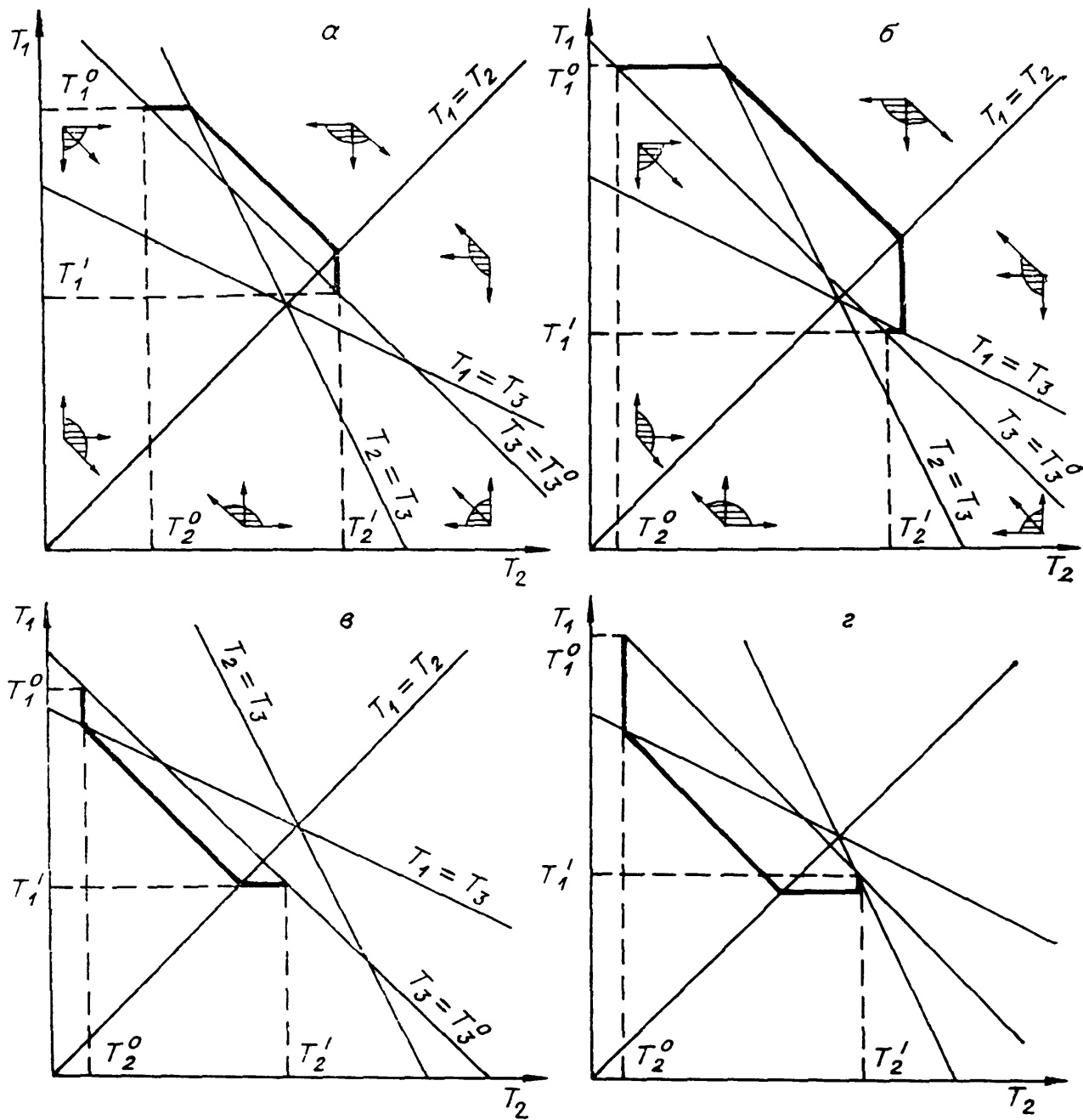


Рис. 1.4. Теплообмен двух тел с участием третьего (теплоемкости равны,  $T_3^0 = T_3'$ ,  $T_1^0 > T_2^0$ ), выделены пути с максимальным эффектом обхода равновесия: а —  $T_3^0 \leq T^* - (T_1^0 - T^*)/8$ , б —  $T^* - (T_1^0 - T^*)/8 \leq T_3^0 \leq T^*$ , в, г —  $T_3^0 \geq T^*$  (симметрично а, б).

$$- T^*/8, \quad T_2' = T^* + (T^* - T_3^0) + (T_1^0 - T^*)/8, \quad T_2' - T_1' = (T_1^0 - T_3^0)/2 - (T_3^0 - T_2^0)/4.$$

Пусть  $T_3^0 > T^*$ . Тогда теплообмен можно провести симметричным образом: вначале нагреть третье тело первым (до равновесия), потом уравновесить первое тело со вторым и охладить третье тело вторым, а если при этом температура  $T_3^0$  не будет достигнута, то продолжить охлаждение первым телом (рис. 1.4, в, г).

**Упражнение.** Проанализировать теплообмен с участием

третьего тела, если теплоемкость третьего тела отличается от теплоемкостей первых двух:  $c_1 = c_2 = c$ ,  $c_3 \neq c$ . Исследовать случай  $c_3 \rightarrow \infty$ .

## 1.2. ЗАКОН ДЕЙСТВИЯ МАСС

При описании кинетики химической реакции поступают обычно так: представляют сложную реакцию как совокупность простых, а скорости простых (элементарных) реакций находят по сравнительно простому правилу. В простейшем случае скорость элементарной реакции задается законом действия масс. Такие простейшие системы называют *кинетически идеальными*. Пусть элементарная реакция задана своим стехиометрическим уравнением



здесь  $A_i$  — символы веществ,  $\alpha_i$ ,  $\beta_i$  — стехиометрические коэффициенты — целые числа, показывающие, сколько молекул  $A_i$  участвует в одном акте элементарной реакции в качестве исходного реагента ( $\alpha_i$ ) и в качестве продукта ( $\beta_i$ ). В (1.5) одновременно записаны как прямая, так и обратная реакции (направление реакции указывается стрелкой). Для обратной реакции  $\beta_i$  — число молекул  $A_i$ , участвующих в одном акте реакции в качестве исходного реагента,  $\alpha_i$  — число молекул  $A_i$ , получающихся в одном акте реакции в качестве продукта. По закону действия масс скорости прямой ( $w^+$ ) и обратной ( $w^-$ ) реакции суть

$$w^+ = k^+(T) \prod_{i=1}^n c_i^{\alpha_i}; \quad w^- = k^-(T) \prod_{i=1}^n c_i^{\beta_i}, \quad (1.6)$$

где  $c_i$  — концентрация  $A_i$ ,  $T$  — температура,  $k^\pm(T)$  — константы скорости. Число различных констант скорости равно  $2p$ , где  $p$  — количество различных элементарных стадий (взаимно обратных элементарных реакций (1.5)). Однако не всегда эти  $2p$  констант можно задавать независимо. Например, если  $p \geq n$  ( $n$  — количество веществ), то обязательно существуют термодинамические ограничения на возможные наборы  $k^\pm$ . Такие ограничения могут существовать и при  $p < n$ . Проще всего учесть их следующим образом. Каждому веществу  $A_i$  сопоставляется химический потенциал  $\mu_i(c, T)$ . Для идеальных систем

$$\mu_i = RT \ln c_i + \mu_{i0}(T), \quad (1.7)$$

где  $R$  — универсальная газовая постоянная.

Скорость реакции задается формулой

$$\begin{aligned} w(c, T) &= w^+(c, T) - w^-(c, T) = \\ &= \varphi(T) \left[ \exp \sum_{i=1}^n \alpha_i \frac{\mu_i}{RT} - \exp \sum_{i=1}^n \beta_i \frac{\mu_i}{RT} \right]. \end{aligned} \quad (1.8)$$

Возможность представления  $w$  в таком виде связана с микрообратимостью (см. гл. 2, 3). Величины  $\varphi(T) \geq 0$  и  $\mu_{i0}(T)$  можно задавать независимо — термодинамические ограничения выполняются автоматически. Согласно (1.8),

$$k^+(T) = \varphi(T) \exp \sum_{i=1}^n \alpha_i \frac{\mu_{i0}}{RT}, \quad k^-(T) = \varphi(T) \exp \sum_{i=1}^n \beta_i \frac{\mu_{i0}}{RT}. \quad (1.9)$$

Уравнения химической кинетики имеют вид

$$\dot{N}_i = V \sum_s (\beta_{si} - \alpha_{si}) w_s(c, T), \quad (1.10)$$

где  $N_i$  — количество  $A_i$  в системе,  $s$  — номер стадии, величины с индексом  $s$  соответствуют  $s$ -й стадии,  $V$  — объем смеси. Для реакции при постоянном объеме уравнение для концентраций  $c$  выглядит аналогично (1.10):

$$\dot{c}_i = \sum_s (\beta_{si} - \alpha_{si}) w_s(c, T). \quad (1.11)$$

Будем здесь рассматривать только идеальные системы и реакции при постоянных  $V$  и  $T$  и соответственно пользоваться (1.11), полагая  $T = \text{const}$ . Важную роль в исследовании свойств уравнений (1.11) играет функция

$$G(c, T) = \sum_{i=1}^n c_i (\ln c_i + \mu_{i0}/RT - 1). \quad (1.12)$$

Нетрудно убедиться, что  $\partial G / \partial c_i = \mu_i / RT$ . Производная  $G$  в силу (1.11) есть

$$\dot{G} = - \sum_s w_s \ln (w_s^+ / w_s^-) \leq 0, \quad (1.13)$$

и равенство  $\dot{G}$  нулю достигается тогда и только тогда, когда  $w_s = 0$  для всех  $s$ . Ясно, что  $G$  — выпуклая функция  $c$ :  $\partial^2 G / (\partial c_i \partial c_j) = \delta_{ij} / c_i$  ( $\delta_{ij} = 1$ , если  $i = j$ ,  $\delta_{ij} = 0$ , если  $i \neq j$ ).

Для идеальных химических систем при постоянных объеме и температуре роль второго начала термодинамики играет утверждение: функция  $G$  (1.12) в ходе химической реакции должна убывать (не возрастать). Часто удобнее другая форма записи  $G$ :

$$G = \sum_{i=1}^n c_i (\ln (c_i / c_i^*) - 1), \quad (1.14)$$

где  $c_i^*$  — равновесная концентрация  $A_i$ .

Значения  $G$  согласно (1.12) и (1.14) могут отличаться друг от друга только на постоянную при данных условиях ( $T = \text{const}$ ) величину.

### 1.3. ИЗОМЕРИЗАЦИЯ

Будем рассматривать закрытую химическую систему при постоянных температуре и объеме. Если реагирующая смесь состоит только из двух веществ — изомеров  $A_1$  и  $A_2$ , то система все время движется к равновесию, а перейти его не в состоянии: пусть равновесные количества  $A_1$  и  $A_2$  суть  $N_1^*$  и  $N_2^*$ , тогда  $N_1(t)$  и  $N_2(t)$  монотонно приближаются к  $N_1^*$  и  $N_2^*$ . При наличии большого числа веществ такого простого ограничения на динамику уже нет. Тем не менее возможный вид функции  $N_i(t)$  ( $N_i$  — количество  $i$ -го вещества) не произведен и аналог монотонности существует. Это связано с существованием убывающих со временем функций состава — функций Ляпунова для уравнений кинетики. Среди них есть термодинамические потенциалы (для изотермических изохорических систем — свободная энергия), а также функции, связанные с ограничениями, накладываемыми на механизм реакции. В этом разделе будут на простом примере разобраны ограничения различных видов.

**Термодинамические ограничения.** Предполагается, что система состоит из  $n$  изомеров  $A_1, \dots, A_n$  и идеальна. Хорошо известно, что при указанных условиях (изотермическая изохорическая закрытая система) со временем должна убывать функция  $G$  (1. 14). С точностью до постоянных множителей и слагаемых  $G$  — свободная энергия системы.

Если  $t_1, t_2$  — моменты времени и  $t_2 > t_1$ , то  $G(c(t_1)) > G(c(t_2))$ . Здесь  $c(t)$  — вектор (набор) концентраций в момент  $t$ . Но неравенство  $G(c(0)) > G(c(t))$  — не единственное ограничение на возможное значение  $c(t)$  при данном  $t > 0$ . В одномерном случае (два изомера, один закон сохранения  $c_1 + c_2 = \text{const}$ ) точка должна лежать по ту же сторону равновесия, что и  $c(0)$ : если  $c_1(0) > c_1^*, c_2(0) < c_2^*$ , то и  $c_1(t) > c_1^*, c_2(t) < c_2^*$ , а если  $c_1(0) < c_1^*, c_2(0) > c_2^*$ , то  $c_1(t) < c_1^*, c_2(t) > c_2^* (t > 0)$ .

Чтобы получить аналог этого ограничения для числа веществ  $n > 2$ , обратимся к исследованию термодинамически допустимых путей реакции. В рассматриваемом случае это такие непрерывные кривые  $c(t)$  ( $t \geq 0$ ), что:

а)  $c_i(t) \geq 0$  для всех  $t > 0$ ,

б) выполняется балансное ограничение  $\sum_{i=1}^n c_i(t) = \bar{c} = \text{const}$ ,

в)  $G(c(t))$  — монотонно убывающая функция  $t$ . Переход из точки  $c^0$  в точку  $c^1$  называется *термодинамически разрешенным* (при данных условиях), если существует термодинамически допустимый путь реакции  $c(t)$ , для которого  $c(0) = c^0, c(\tau) = c^1$  при некотором  $\tau > 0$ . В противном случае такой переход считается термодинамически запрещенным.

Для изучения термодинамически запрещенных переходов оказывается полезным рассмотреть поверхности уровня функции  $G$ , задаваемые уравнениями  $G(c) = g = \text{const}$ . При некоторых  $g$  эти поверхности уровня становятся несвязными в симплексе  $c_i \geq 0$ ,

$c_1 + c_2 + \dots + c_n = \bar{c} = \text{const}$ , а их связные компоненты разрезают симплекс, каждая — на две части. В одной из этих частей  $G(c) > g$ , в другой есть точки, где  $G(c) < g$  (в частности, точка равновесия  $c^*$ ), но в ней могут быть и такие  $c^0$ , что  $G(c^0) > g$ . Траектория системы, начинающаяся в такой  $c^0$ , не может пересечь соответствующую связную компоненту поверхности уровня — для этого на каком-то участке траектории должна была бы нарушиться монотонность изменения  $G(c(t))$ . Поэтому возможна следующая ситуация:  $G(c^0) > G(c^1)$ , но не существует такой непрерывной кривой  $c(t)$ , что  $c(0) = c^0$ ,  $c(\tau) = c^1$  ( $\tau > 0$ ),  $G(c(t))$  — монотонно убывающая функция. Проиллюстрируем это графически, предельно упростив систему: пусть изомеров всего три ( $A_1, A_2, A_3$ ), а их равновесные концентрации равны ( $c_1^* = c_2^* = c_3^*$ ). При фиксированном значении баланса  $c_1 + c_2 + c_3 = \bar{c} = 3c^* = \text{const}$  состояние системы изображается точкой, лежащей в треугольнике  $c_1 + c_2 + c_3 = \bar{c}$ ,  $c_i \geq 0$  ( $i = 1, 2, 3$ ). Этот треугольник представляет собой сечение положительного октанта плоскостью  $c_1 + c_2 + c_3 = \bar{c}$ . Его удобно изображать равносторонним треугольником на плоскости (рис. 1.5, а) с высотой  $\bar{c}$  (стороной  $2\sqrt{3}\bar{c}/3$ ). Если состояние системы изображается вершиной треугольника, это означает, что в системе присутствует только один изомер:  $c_1 = \bar{c}$ , либо  $c_2 = \bar{c}$ , либо  $c_3 = \bar{c}$ . На рис. 1.5 для каждой вершины указано соответствующее вещество. Концентрация  $A_i$  есть длина перпендикуляра, опущенного из точки  $c$  (изображающей состояние) на сторону, противоположную вершине  $A_i$  (той вершине, где  $c_i = \bar{c}$ ). Рассмотрим поверхности уровня (здесь — линии) функции  $G$  (1.14). Если  $g$  близко к  $G(c^*)$ , то линия  $G(c) = g$  связна (рис. 1.5, б). Однако если  $g$  становится больше минимума  $G(c)$  на ребрах треугольника, но остается меньше максимума  $G(c)$  в треугольнике, то линия  $G(c) = g$  распадается на три связные части (рис. 1.5, б). Минимум  $G(c)$  на ребрах треугольника достигается на их серединах, совпадает для всех ребер (так как  $c_1^* = c_2^* = c_3^* = \bar{c}/3$ ) и равен  $g_0 = \bar{c}(\ln(3/2) - 1)$ . Дуги линий уровня  $G(c) = g_0$ , соединяющие середины ребер, образуют непроходимые границы — невозможность пересечь их «изнутри» есть аналог невозможности перехода равновесия, но уже для двумерной системы. Весь треугольник разбивается на четыре области (рис. 1.5, б): треугольники  $A_{1,xy}, A_{2,xz}, A_{3,yz}$  (одна сторона каждого из них есть участок кривой  $G(c) = g_0$ ) и область  $G(c) \leq g_0$ . Ни одна точка ( $c^0$ ) из внутренности какого-либо из этих криволинейных треугольников не может быть связана ни с какой внутренней точкой ( $c^1$ ) другого криволинейного треугольника термодинамически допустимым путем (вдоль которого  $G$  не возрастает). Это невозможно даже в том случае, когда  $G(c^0) > G(c^1)$ , — все равно по дороге от  $c^0$  к  $c^1$  траектория должна пересечь «изнутри» (со стороны меньших значений  $G$ ) одну из дуг кривой  $G(c) = g_0$  (рис. 1.5, б). Допустимость перемещений внутри треугольников и в области  $G(c) \leq g_0$  определяется по справедливости неравенства  $G(c^0) > G(c^1)$ . Пусть выполнено одно из следующих условий:

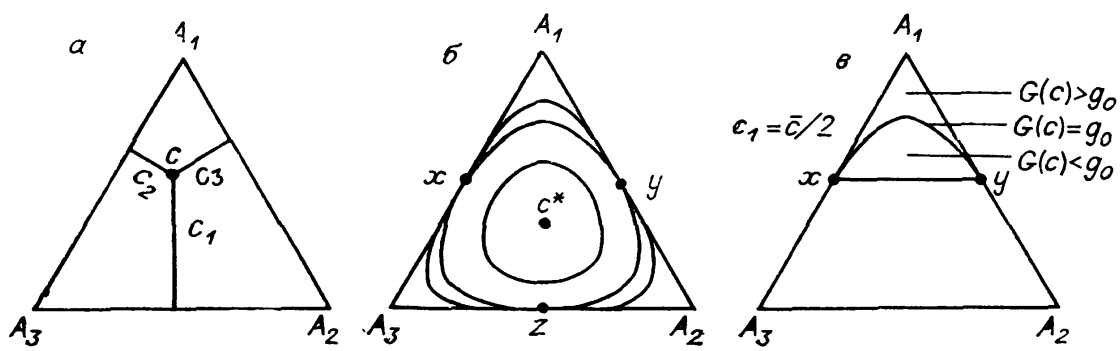


Рис. 1.5. Три изомера: а — система координат, б — линии уровня  $G$ , в — область недоступности вблизи  $A_1$ .

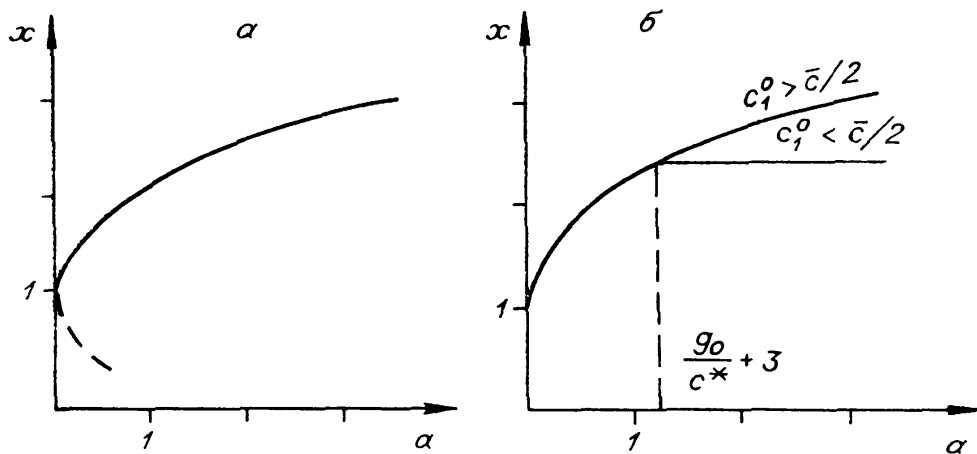


Рис. 1.6. Решения (1.15) (а) и две ветви зависимости  $\max c_1^1$  от  $G(c^0)$  (б).

а)  $c^0$  и  $c^1$  лежат обе в одном из криволинейных треугольников  $A_1xy, A_2yz, A_3xz$ ;

б)  $c^0$  лежит в одном из криволинейных треугольников  $A_1xy, A_2yz, A_3xz$ , а  $c^1$  — в области  $G(c) \leq g_0$ ;

в)  $G(c^0) \leq g_0, G(c^1) < g_0$  — тогда перемещение из  $c^0$  в  $c^1$  термодинамически разрешено в том и только в том случае, когда  $G(c^0) > G(c^1)$ . Более того, поскольку перемещение из одного криволинейного треугольника в другой запрещено, здесь перечислены все возможные случаи разрешенных перемещений в треугольнике. Вблизи каждой вершины есть область (примыкающий криволинейный треугольник), в которую невозможно попасть извне. Возникает интересный вопрос: насколько можно приблизиться к данной вершине (для определенности  $A_1$ ), если начальное состояние задано. Пусть начальные концентрации суть  $c_1^0, c_2^0, c_3^0$ , требуется найти  $\sup c_1^1$ , где  $c_1^1, c_2^1, c_3^1$  — состояние, в которое можно перейти из  $c^0$ , и верхняя грань берется по всем таким состояниям  $c^1$ . Геометрически ясно (рис. 1.5, б), что  $\sup c_1^1$  надо искать таким образом:

а) если  $c^0$  лежит в  $A_1xy$  или в области  $G(c) \leq g_0$ , то  $\sup c_1^1$  есть максимум  $c_1$  на линии  $G(c) = G(c^0)$ ;

б) если  $c^0$  лежит в  $A_2yz$  или  $A_3xz$ , то  $\sup c_1^1$  есть максимум  $c_1$  на линии  $G(c) = g_0$ .

Чтобы найти  $\sup c_1^1$  для данного  $c^0$ , надо уметь находить указанные максимумы и, кроме того, иметь аналитические критерии принадлежности точки  $c^0$  той или иной области. Эти критерии выглядят так:  $c^0$  лежит в области  $G(c) \leq g_0$  тогда и только тогда, когда  $G(c^0) \leq g_0$ ,  $c^0$  лежит в  $A_{1xy}$  тогда и только тогда, когда  $c_1^0 > \bar{c}/2$ ,  $G(c^0) > g_0$ ,  $c^0$  лежит в  $A_{2yz}$  тогда и только тогда, когда  $c_2^0 > \bar{c}/2$ ,  $G(c^0) > g_0$ ,  $c^0$  лежит в  $A_{3xz}$  тогда и только тогда, когда  $c_3^0 > \bar{c}/2$ ,  $G(c^0) > g_0$ . Критерий принадлежности  $c_0$ , например,  $A_{1xy}$  получен так (рис. 1.5, в): криволинейный треугольник  $A_{1xy}$  состоит из тех и только тех точек прямолинейного треугольника  $A_{1xy}$ , в которых  $G(c) > g_0$ .

Из симметрии системы ясно, что  $\max c_1$  на линии уровня  $G(c) = g$  достигается на прямой  $c_2 = c_3 = (\bar{c} - c_1)/2$ . Точки пересечения этой прямой с линией уровня  $G(c) = g$  находятся из уравнения

$$c_1 \ln(c_1/c^*) + (\bar{c} - c_1) \ln((\bar{c} - c_1)/(2c^*)) - \bar{c} = g. \quad (1.15)$$

На рис. 1.6, а представлена зависимость  $c_1/c^*$  от  $a = g/c^* + 3$  для решения (1.15):  $x = \max_{G(c)=g} c_1/c^*$ .

Используя решение (1.15), можно найти, как изменяется  $x = \sup c_1^1/c^*$  в зависимости от  $a = G(c^0)/c^* + 3$  (рис. 1.6, б). При  $G(c^0) \leq g_0$  эта зависимость однозначна. Если  $G(c^0) > g_0$ , то возможны два варианта: при  $c_1^0 < \bar{c}/2$  ( $c^0$  лежит в  $A_{2yz}$  или  $A_{3xz}$ )  $\sup c_1^1$  равен максимуму  $c_1$  на линии  $G(c) = g_0$  (нижняя ветвь графика на рис. 1.6, б), если же  $c_1^0 > \bar{c}/2$ , то зависимость  $\sup c_1^1$  от  $G(c^0)$  дается решением уравнения (1.15) (верхняя ветвь графика на рис. 1.6, б).

В одномерной системе (два изомера) с единичной константой равновесия ( $c_1^* = c_2^*$ ) невозможность перехода через равновесие можно в наших обозначениях сформулировать так: если  $c_1^0 \leq \bar{c}/2$ , то  $c_1^1 < \bar{c}/2$ . В только что разобранном двумерном случае возможно аналогичное утверждение, но с другими коэффициентами: если  $c_1^0 < \bar{c}/2$ , то  $c_1^1 \leq 0,773 \bar{c}$  ( $0,773\bar{c} \approx$  решение (1.15) при  $g = g_0$ ).

**Упражнение.** Найти коэффициенты для аналогичных неравенств в системе из 4 изомеров с единичными константами равновесия ( $c_1^* = c_2^* = c_3^* = c_4^* = \bar{c}/4$ ).

**Указание.** Поверхность уровня  $G(c) = g$  будет несвязной при  $g > g_0$ , где  $g_0$  — минимум  $G$  на ребрах симплекса, задаваемого неравенствами  $c_1 \geq 0$ ,  $c_2 \geq 0$ ,  $c_3 \geq 0$ ,  $c_4 \geq 0$  и уравнением  $c_1 + c_2 + c_3 + c_4 = \bar{c}$ . Аналог уравнения (1.15) есть

$$c_1 \ln(c_1/c^*) + (\bar{c} - c_1) \ln((\bar{c} - c_1)/(3c^*)) - \bar{c} = g. \quad (1.16)$$

**Ограничения, связанные с механизмом реакции.** Термодинамические ограничения определяются только списком реагентов, положением точки равновесия и видом химических потенциалов — для неидеальных систем, например, функция  $G$  (1.12), (1.14) будет иметь иной вид. Они будут справедливы даже в том случае, если

допускаются элементарные<sup>1</sup> стадии, скажем, вида  $11A_1 + 12A_2 \rightleftharpoons 23A_3$ . Как правило, таких элементарных реакций не бывает. Сокращая список возможных элементарных стадий до разумного, мы, естественно, сужаем множество возможных путей реакции по сравнению с термодинамически допустимыми путями. Исследуем возникающие в системе трех изомеров ограничения, связанные с тремя механизмами реакции:

- a)  $A_1 \rightleftharpoons A_2, A_2 \rightleftharpoons A_3;$
- б)  $A_1 \rightleftharpoons A_2, A_1 \rightleftharpoons A_3;$
- в)  $A_1 \rightleftharpoons A_2 \rightleftharpoons A_3 \rightleftharpoons A_1.$

Пусть, как и выше,  $c_1^* = c_2^* = c_3^* = \bar{c}/3$ . Для каждой стадии существует поверхность (в этом примере — линия) равновесия, на которой прямая реакция уравновешивается обратной. Для стадии  $A_i \rightleftharpoons A_j$  эта линия задается уравнением  $\mu_i(c) = \mu_j(c)$  — в рассматриваемом примере  $c_i = c_j$ . Линии равновесия стадий разбивают треугольник  $A_1A_2A_3$  на отсеки, в которых однозначно определено направление каждой реакции — прямое или обратное (рис. 1.7, а — г). Стадия

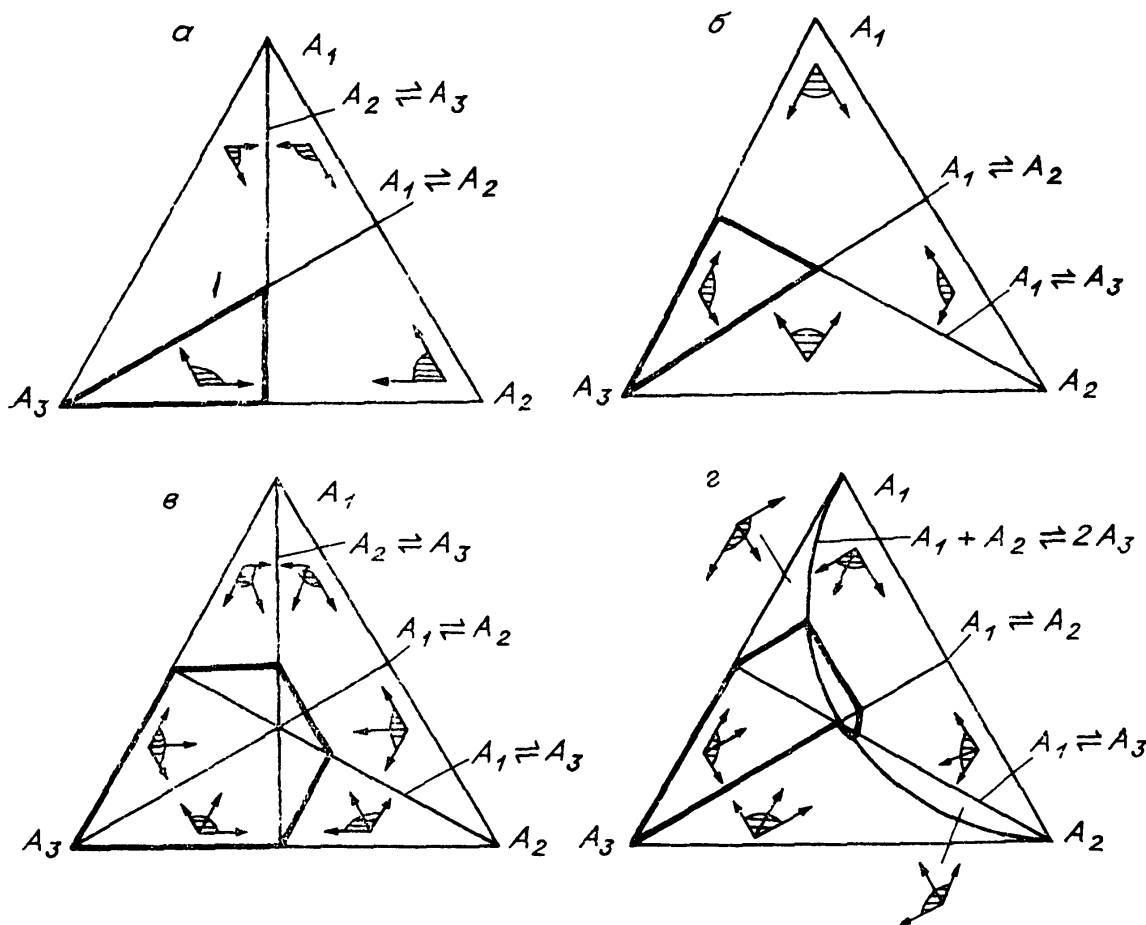


Рис. 1.7. Составы, достижимые из  $A_3$  (области с выделенной границей), для различных механизмов реакции: а —  $A_1 \rightleftharpoons A_2 \rightleftharpoons A_3$ , б —  $A_1 \rightleftharpoons A_2 \rightleftharpoons A_3$ , в —  $A_1 \rightleftharpoons A_2 \rightleftharpoons A_3 \rightleftharpoons A_1$ , г —  $A_1 \rightleftharpoons A_2, A_1 \rightleftharpoons A_3, A_1 + A_2 \rightleftharpoons 2A_3$ ; указаны линии равновесия стадий и углы возможных направлений (заштрихованы).

<sup>1</sup> Элементарными традиционно считаются реакции, проходящие в один акт взаимодействия (соударение). С другой стороны, можно определить элементарность реакции феноменологически, исходя из вида уравнений кинетики (1.10) и заданного кинетического закона — правила вычисления  $w(c, T)$ .

$A_1 \rightleftharpoons A_2$  сдвигает систему вдоль прямой  $A_3 = \text{const}$  по направлению к линии равновесия  $A_1 \rightleftharpoons A_2$ . Аналогично к своим линиям равновесия сдвигают систему и другие стадии. Если механизм реакции одностадийный, то движение происходит по прямой. Внутри данного отсека каждой стадии сопоставляется вектор, направленный вдоль этой прямой к линии равновесия. Для многостадийных сложных реакций возможное направление движения есть комбинация с положительными коэффициентами направляющих векторов всех стадий. Внутри каждого отсека множество таких комбинаций образует угол — угол возможных направлений движения (см. рис. 1.7, *a* — *e*). Если же точка лежит на линии равновесия какой-нибудь стадии, то ей сопоставляется угол, совпадающий с пересечением углов прилегающих отсеков. Гладкая кривая  $c(t)$  ( $t \geq 0$ ) есть допустимый путь реакции, если

- а)  $c_i(t) \geq 0$  для любых  $t \geq 0$ ,  $i = 1, 2, 3$ ;
- б)  $c_1(t) + c_2(t) + c_3(t) = \bar{c} = \text{const}$ ;
- в) касательный вектор  $(dc_1/dt, dc_2/dt, dc_3/dt)$  принадлежит углу возможных направлений, соответствующему точке  $(c_1, c_2, c_3)$  (см. рис. 1.7).

Описанные допустимые пути и термодинамически допустимы — вдоль них монотонно убывает функция  $G(c(t))$ . Переход в ходе реакции от состава  $c^0$  к составу  $c^1$  допустим тогда и только тогда, когда существует такой допустимый путь  $c(t)$ , что  $c(0) = c^0$ ,  $c(\tau) = c^1$  для некоторого  $\tau > 0$ . Пусть задано  $c^0$ . Построим множество тех  $c^1$ , для которых допустим переход от  $c^0$  к  $c^1$ . Пусть  $c^0$  лежит в отсеке  $V_0$ ,  $Q$  — соответствующий угол возможных направлений. Перенесем вершину этого угла в точку  $c^0$  и рассмотрим его пересечение с  $V_0 - M_0 = V_0 \cap (c^0 + Q_0)$ . Элементы  $M_0$  — те точки, которые могут быть достигнуты в ходе реакции без выхода траектории из отсека  $V_0$ . Пусть  $\partial V_0$  — граница  $V_0$ ,  $M_0 \cap \partial V_0$  — точки  $M_0$ , лежащие на границе  $V_0$ ,  $V_1$ ,  $V_2$  — отсеки, прилегающие к  $V_0$  по границе. Следующий шаг — построение множеств  $M_1$  и  $M_2$ :  $M_1$  состоит из тех точек  $V_1$ , которые могут быть достигнуты в ходе реакции из точек  $M_0 \cap \partial V_0 \cap V_1$  без выхода траектории из отсека  $V_1$ ;  $M_2$  состоит из тех точек  $V_2$ , которые могут быть достигнуты в ходе реакции из точек  $M_0 \cap \partial V_0 \cap V_2$  без выхода траектории из отсека  $V_2$ . В рассматриваемом случае (двумерная система, линии равновесия — прямые)  $M_1$  строится так. Пусть  $c^1$  — наиболее удаленная от равновесия точка  $M_0 \cap \partial V_0 \cap V_1$ ,  $Q_1$  — угол возможных направлений для  $V_1$ . Перенесем вершину угла  $Q_1$  в точку  $c_1$  и рассмотрим его пересечение с  $V_1 - M_1 = V_1 \cap (c^1 + Q_1)$ . Аналогично строится и  $M_2$ . Если в  $M_1$ ,  $M_2$  есть точки, лежащие на прямых, ограничивающих  $V_1$ ,  $V_2$  и не примыкающих к  $V_0$ , то выберем из них самые далекие и повторим построение. Описанное построение будем повторять до тех пор, пока после очередного шага не перестанут появляться новые точки — вновь построенные  $M_i$  окажутся лежащими в объединении предыдущих  $M_i$  (либо пустыми). Искомое множество  $M$  есть объединение всех построенных  $M_i$ .

На рис. 1.7, *a* — *e* изображены множества достижимых состояний  $M$  для различных механизмов реакции и начального состояния

$c_1^0 = c_2^0 = 0$ ,  $c_3^0 = \bar{c}$ . Для механизмов  $A_1 \rightleftharpoons A_2 \rightleftharpoons A_3$ , и  $A_3 \rightleftharpoons A_1 \rightleftharpoons A_2$  множество  $M$  при таком начальном состоянии совпадает с  $M_0$  (рис. 1.7, а, б). Для большего механизма  $A_1 \rightleftharpoons A_2 \rightleftharpoons A_3 \rightleftharpoons A_1$ , множество  $M$  существенно шире (рис. 1.7, в). Для механизма  $A_1 \rightleftharpoons A_2 \rightleftharpoons A_3$  и данного начального состояния значение  $c_1^1$  не превосходит  $c^* = \bar{c}/3$ . Для двух других рассматриваемых механизмов реакции  $c_1^1$  не превосходит  $\bar{c}/2$  (как и в одномерном случае). Здесь мы имеем дело с общим свойством мономолекулярных реакций в идеальных системах. Именно: пусть система состоит из  $n$  веществ  $A_1, \dots, A_n$ , и в ней идет ряд реакций вида  $A_i \rightleftharpoons A_j$ . Рассматривается

балансный симплекс  $\sum_{i=1}^n c_i = \bar{c}, c_i \geq 0$  ( $c_i$  — концентрация  $A_i$ ).

Пусть система идеальна. В данном случае отсюда вытекает, что поверхности равновесия стадий плоские: равновесие  $A_i \rightleftharpoons A_j$  задается уравнением  $K_{ij}c_i = c_j$ ,  $K_{ij}$  — константа равновесия. Чтобы исследовать пределы изменения  $c_1$ , рассмотрим все реакции вида  $A_1 \rightleftharpoons A_i$ . Для каждой такой отдельно взятой реакции (в одномерном случае) с учетом баланса  $c_1 + c_i = \bar{c}$  имеем: если  $c_1 > \bar{c}/(1 + K_{1i})$ , то  $c_1$  в ходе реакции уменьшается. В многомерном случае справедливо аналогичное утверждение: если начальное значение  $c_1^0 \geq \max_i [\bar{c}/(1 + K_{1i})]$ , то для любого достижимого из  $c^0$  в ходе реакции состояния  $c^1$  справедливо неравенство  $c_1^0 > c_1^1$ . Максимум здесь берется по всем реакциям вида  $A_1 \rightleftharpoons A_i$ .

**Упражнение.** Докажите сформулированное утверждение.

**Указание.** Покажите, что на всей поверхности равновесия  $A_1 \rightleftharpoons A_i$  выполнено неравенство  $c_1 \leq \bar{c}/(1 + K_{1i})$ . Отсюда следует, что при  $c_1 > \bar{c}/(1 + K_{1i})$  реакция  $A_1 \rightleftharpoons A_i$  приводит к уменьшению  $c_1$ .

Покажем все на том же примере (три изомера,  $c_1^* = c_2^* = c_3^* = \bar{c}/3$ ), каким образом наличие стадии с взаимодействием различных веществ позволяет обойти равновесие (точнее, снимает запрет). Дополним механизм реакции  $A_2 \rightleftharpoons A_1 \rightleftharpoons A_3$  стадией  $A_1 + A_2 \rightleftharpoons 2A_3$ . Ее линия равновесия задается уравнением  $c_1 c_2 = c_3^2$  (при условии  $c_1 + c_2 + c_3 = \bar{c}$ ). В силу реакции  $A_1 + A_2 \rightleftharpoons 2A_3$  система движется вдоль прямой, параллельной биссектрисе угла  $A_3$  (рис. 1.7, г). Направляющий вектор имеет компоненты  $(1, 1, -2)$ . Максимальное значение  $c_1^1$  для  $c_1^0 = c_2^0 = 0$ ,  $c_3^0 = \bar{c}$  дает допустимый путь, состоящий из двух прямолинейных отрезков — движения от  $c^0$  к точке  $c_1 = c_3 = \bar{c}/2$ ,  $c_2 = 0$  вдоль линии  $c_2 = \text{const}$  и движения от этой точки вдоль прямой, параллельной биссектрисе угла  $A_3$ , к линии равновесия стадии  $A_1 + A_2 \rightleftharpoons 2A_3$ . Этот путь можно интерпретировать следующим образом: вначале приходит в равновесие стадия  $A_1 \rightleftharpoons A_3$ , потом  $A_1 + A_2 \rightleftharpoons 2A_3$ . Значение  $c_1$  в конце пути есть  $\bar{c}(11 - \sqrt{13})/12 \approx 0,6261\bar{c}$ . Ищется оно так. В конце первого отрезка  $c_1 = c_3 = \bar{c}/2$ ,  $c_2 = 0$ . В конце второго отрезка  $c^1 = (\bar{c}/2, 0, \bar{c}/2) + x(1, 1, -2)$ . Число  $x$  находится из условия  $c_1 c_2 = c_3^2$ :  $(\bar{c}/2 + x)x = (\bar{c}/2 - 2x)^2$ ,  $x =$

$= \bar{c}(5 \pm \sqrt{13})/12$ . Корень  $\bar{c}(5 + \sqrt{13})/12$  не подходит — для него  $c_3 = \bar{c}/2 - 2x = \bar{c}(1 - \sqrt{13})/12 < 0$ . Поэтому  $x = \bar{c}(5 - \sqrt{13})/12$ ,  $c_1^1 = \bar{c}/2 + x = \bar{c}(11 - \sqrt{13})/12$ . Таким образом, при наличии в механизме реакции стадии с взаимодействием различных веществ обход равновесия возможен (не запрещен). Естественно, что для каждого конкретного механизма реакции множество допустимых путей (и достижимых состояний) уже, чем множество термодинамически допустимых путей.



## ГЛАВА 2

### УРАВНЕНИЯ ХИМИЧЕСКОЙ КИНЕТИКИ

#### 2.1. СХЕМА КВАЗИРАВНОВЕСНОЙ ТЕРМОДИНАМИКИ

В этом разделе рассматриваются только изолированные системы. Исследование неизолированной системы с равновесным окружением сводится к изучению минимальной изолированной системы, включающей данную. Это продемонстрировано на примерах в разд. 2.4.

Будем говорить, что задано термодинамическое описание системы, если указаны: список макроскопических переменных, система балансных уравнений, система балансных неравенств, энтропия как функция макроскопических переменных.

Макроскопические переменные обозначим  $M_i$  ( $i = 1, \dots, n$ ), вектор с компонентами  $M_i$  — символом  $M$ . Считается, что значения переменных  $M_i$  полностью определяют состояние системы. Выбор основных макроскопических переменных для конкретной системы — задача далеко не тривиальная, но если он сделан правильно, то можно считать любую макроскопическую величину функцией от  $M$ . Будем отождествлять вектор  $M$  и состояние системы.

Существуют два типа балансных уравнений:

$$\sum_i a_j^{0i} M_i = 0, \quad a^0 M = 0; \quad (2.1)$$

$$\sum_i a_j^i M_i = b_j = \text{const}, \quad a M = b = \text{const}. \quad (2.2)$$

Первая группа балансных уравнений (2.1) выражает жесткую связь между переменными  $M_i$ . Все уравнения (2.1) однородны. Наличие таких соотношений означает, что переменные  $M_i$  не являются независимыми. Можно было бы исключить зависимые переменные, но иногда удобнее использовать избыточный набор. Вторая группа уравнений (2.2) выражает постоянство некоторых линейных комби-